

# UV/H<sub>2</sub>O<sub>2</sub> 高级氧化法深度去除水中臭味物质

王昊

(上海市政工程设计研究总院<集团>有限公司, 上海 200092)

**摘要:** 针对给水厂传统工艺难以有效处理高藻、高臭味原水的问题,采用中试探究了UV/H<sub>2</sub>O<sub>2</sub>高级氧化法对土臭素(GSM)和二甲基异冰片(2-MIB)这两种典型臭味物质的去除效能。结果表明,当H<sub>2</sub>O<sub>2</sub>剂量为6 mg/L、UV功率为2.0 kW、进水流量为2.9 m<sup>3</sup>/h时,UV/H<sub>2</sub>O<sub>2</sub>系统对GSM和2-MIB的去除率最高可分别达到99.52%和99.26%,相应浓度均可降至5 ng/L以下,满足《生活饮用水卫生标准》(GB 5749—2006)的要求;另外,对单位耗能参数( $E_{Eo}$ )与H<sub>2</sub>O<sub>2</sub>投加剂量的关系进行拟合,发现该系统在去除水中臭味物质时能耗较低。

**关键词:** UV/H<sub>2</sub>O<sub>2</sub> 高级氧化法; 土臭素; 二甲基异冰片; 单位耗能参数( $E_{Eo}$ )

**中图分类号:** TU991    **文献标识码:** C    **文章编号:** 1000-4602(2018)19-0048-04

## Removal of Odorous Compounds in Water by UV/H<sub>2</sub>O<sub>2</sub> Advanced Oxidation Process

WANG Hao

(Shanghai Municipal Engineering Design Institute <Group> Co. Ltd., Shanghai 200092, China)

**Abstract:** It is difficult to treat raw water with high algae concentration and odor effectively by traditional technology in a water supply plant. To cope with the problem, a pilot-scale test on the removal of two typical odorants—geosmin (GSM) and 2-methylisoborneol (2-MIB) by UV/H<sub>2</sub>O<sub>2</sub> advanced oxidation method was studied. The results showed that the maximum removal rates of GSM and 2-MIB were 99.52% and 99.26% when dosage of H<sub>2</sub>O<sub>2</sub>, power supply of UV and influent flow rate were 6 mg/L, 2.0 kW and 2.9 m<sup>3</sup>/h respectively. Both of the corresponding concentrations of the two pollutants were less than 5 ng/L, which met the requirements of the *Standards for Drinking Water Quality* (GB 5749—2006). In addition, the relationship between the electrical energy per order ( $E_{Eo}$ ) and the dosages of H<sub>2</sub>O<sub>2</sub> was fitted, and it was found that energy consumption of the system was relatively lower when removing odorous compounds.

**Key words:** UV/H<sub>2</sub>O<sub>2</sub> advanced oxidation process; geosmin; 2-methylisoborneol; electrical energy per order ( $E_{Eo}$ )

随着我国工业化进程的加快,污水排放量日益增加,部分饮用水水源不同程度地受到了污染,很多水体出现富营养化现象。大量繁殖的藻类在新陈

代谢过程中会产生臭味化合物,使水体散发出鱼腥味、土霉味等难闻的气味。然而,城市给水厂的传统处理工艺对具有高藻、高臭味特征的原水难以有效

基金项目:上海市政工程设计研究总院(集团)有限公司拂晓计划项目(K2015K072)

处理,给生产生活造成了严重的影响<sup>[1]</sup>。

为了有效去除水中的臭味物质,学者们进行了一系列研究,现有的除臭技术主要分为物理吸附、化学氧化、生物降解等<sup>[2~4]</sup>,这些技术各有优劣。近年来,高级氧化法作为一种新型的水处理技术而被广泛关注。相关研究表明,UV/H<sub>2</sub>O<sub>2</sub>高级氧化技术对大部分难降解有机物均有明显的去除效果,但目前针对该技术去除水中臭味物质的研究报道尚不多见。为此,笔者进行了UV/H<sub>2</sub>O<sub>2</sub>高级氧化技术深度去除水中土臭素(GSM)和二甲基异冰片(2-MIB)的中试研究,重点考察了流量、紫外线强度和H<sub>2</sub>O<sub>2</sub>投加量的影响,并对其能耗进行了评估。

## 1 材料与方法

### 1.1 试验进水及试剂

中试进水采用济南市玉清水厂的砂滤池出水,其pH值为8.0,硬度(以CaCO<sub>3</sub>计)为130 mg/L,DOC为2.0 mg/L,硝态氮为13.4 mg/L,紫外线穿透率(UVT<sub>254</sub>)为92.2%。可知,进水的紫外线穿透率较高,表明UV光电子在溶液中的传递效率较高;另外,进水DOC含量较低,表明消耗·OH的有机物较少,即影响目标污染物去除效果的干扰较小。

试验采用30%的H<sub>2</sub>O<sub>2</sub>溶液,H<sub>2</sub>O<sub>2</sub>含量约为330 mg/mL;GSM和2-MIB为分析纯。2-MIB和GSM先溶于甲醇,配制成浓度为25 mg/mL的溶液,再用水稀释到一定浓度,通过计量泵进行投加。

### 1.2 工艺流程

中试处理流程见图1。H<sub>2</sub>O<sub>2</sub>和GSM、2-MIB分别通过计量泵注入管路系统,经静态混合器充分混合后进入高级氧化反应器。反应过程中的流量测定由装置前端的流量计完成,反应前后所取样品均经过充分混合。高级氧化反应系统采用Trojan UV-Phox™ 8AL20设备,由8根低压高效汞灯组成,每根灯管的额定最大功率为250 W,并且可以在60%~100%之间以2%的增量进行调节(即总功率可以在1.2~2.0 kW之间调节)。

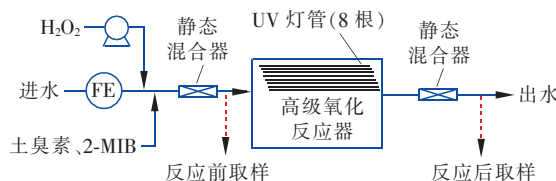


图1 中试处理流程

Fig. 1 Flow chart of pilot test

### 1.3 试验方法

试验时,通入水流,开启紫外设备到所需剂量并预热15 min,开启加药泵同时加入GSM和2-MIB以及H<sub>2</sub>O<sub>2</sub>,计时5倍HRT后,在紫外设备前后取样口同时取样,检测样品中GSM、2-MIB与H<sub>2</sub>O<sub>2</sub>的含量。其中,GSM和2-MIB采用固相萃取-气质联用法(SPE-GC/MS)测定,H<sub>2</sub>O<sub>2</sub>采用N,N-二乙基-对苯二胺(DPD)/过氧化物酶法测定。

试验设置3因素变量,分别为进水流量Q、H<sub>2</sub>O<sub>2</sub>剂量C<sub>H</sub>和UV功率P。Q分别取3、5.5、8 m<sup>3</sup>/h,C<sub>H</sub>分别取0、3、6、12 mg/L,P分别取1.2和2.0 kW。另外,设置C<sub>H</sub>、P均为零的对照组。

## 2 结果与讨论

### 2.1 进水流量对臭味物质去除效果的影响

在H<sub>2</sub>O<sub>2</sub>剂量为6 mg/L、UV功率为2.0 kW的条件下,考察进水流量对GSM和2-MIB去除效果的影响。结果表明,系统对两种目标污染物的去除率均随着进水流量的增大而降低。当进水流量为2.9 m<sup>3</sup>/h(实测值,下同)时,GSM和2-MIB去除率分别为99.12%和98.20%;当进水流量增大到7.7 m<sup>3</sup>/h时,二者的去除率分别降至95.78%和93.83%。在UV功率一定的情况下,进水流量的增大意味着分配到单位体积水的·OH减少,从而影响了·OH氧化GSM和2-MIB的反应速率与效果。从另一个角度来看,在反应器容积一定的情况下,增大进水流量相当于缩短了水力停留时间,这可能会导致部分目标污染物的反应时间较短,因而去除率不高。

### 2.2 紫外剂量对臭味物质去除效果的影响

为考察UV剂量对GSM和2-MIB去除效果的影响,在UV功率为2.0和1.2 kW的条件下分别选取了四组数据进行比较(无紫外光照射时,无去除效果),结果如图2所示。1、2、3、4组的试验条件分别为Q=5.3 m<sup>3</sup>/h,C<sub>H</sub>=10.6 mg/L,Q=5.3 m<sup>3</sup>/h,C<sub>H</sub>=2.8 mg/L,Q=7.8 m<sup>3</sup>/h,C<sub>H</sub>=3.3 mg/L,Q=7.7 m<sup>3</sup>/h,C<sub>H</sub>=1.5 mg/L。从图2可以看出,当UV功率为2.0 kW时,对GSM和2-MIB的去除率均高于UV功率为1.2 kW时的,对GSM和2-MIB的去除率最大可分别达到99.52%和99.26%。在相同工况条件下,1.2 kW功率下与2.0 kW功率下GSM和2-MIB的去除率比值分别为0.69和0.65。表明在中试条件下,两种目标污染物的去除率随着紫外剂量的增加而增加。但考虑到成本问题,实际生产

中不可能无限增大紫外剂量,而应在满足处理效果的要求下选择适当的紫外剂量,从而降低系统电耗。

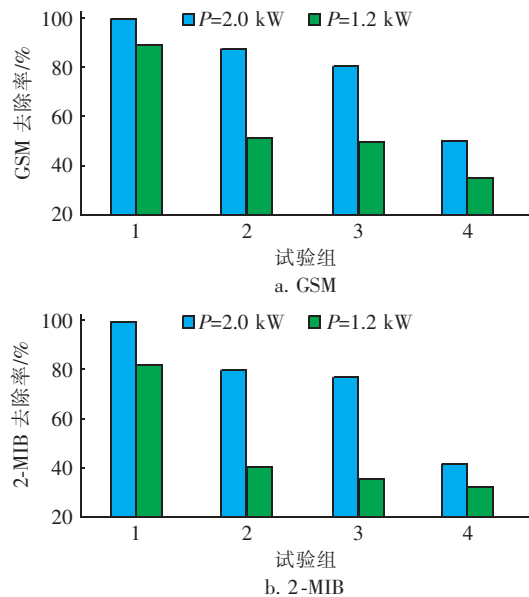


图2 不同UV剂量下对GSM和2-MIB的去除效果

Fig. 2 Removal effect of GSM and 2-MIB at different UV doses

### 2.3 H<sub>2</sub>O<sub>2</sub>剂量对臭味物质去除效果的影响

在进水流量为5.5 m<sup>3</sup>/h、UV功率为2.0 kW的条件下,考察H<sub>2</sub>O<sub>2</sub>剂量对两种臭味物质去除效果的影响。结果表明,GSM与2-MIB的去除率随着H<sub>2</sub>O<sub>2</sub>剂量的增加呈先快后慢的上升趋势,不投加H<sub>2</sub>O<sub>2</sub>时,系统对GSM和2-MIB均无去除效果;随着H<sub>2</sub>O<sub>2</sub>剂量逐渐增加到10.74 mg/L(此为实测值,与理论投加量略有差异),二者去除率亦逐渐增大,分别达到了99.52%和99.26%,此时出水中的GSM与2-MIB含量均低于检测限(<5 ng/L),满足《生活饮用水卫生标准》(GB 5749—2006)的要求(GSM<10 ng/L,2-MIB<10 ng/L)。高级氧化反应中起主要作用的是·OH,H<sub>2</sub>O<sub>2</sub>浓度较低时,在一定强度紫外线照射下,·OH的生成量随着H<sub>2</sub>O<sub>2</sub>的增加而增加,对目标污染物的去除量随之增大。然而,随着目标污染物浓度不断降低,其与·OH的碰撞概率大大减小,相同的H<sub>2</sub>O<sub>2</sub>增量下目标污染物去除率的增长呈先快后慢的趋势。同时,H<sub>2</sub>O<sub>2</sub>本身也会造成·OH的猝灭,高浓度下随着H<sub>2</sub>O<sub>2</sub>的增加,·OH的产量会达到一个动态平衡<sup>[5]</sup>。

### 2.4 UV/H<sub>2</sub>O<sub>2</sub>系统电耗分析

采用高级氧化法作为深度处理工艺必然会导致

净水成本的增加,而电能在运行成本中占主要部分,因此有必要研究其耗电情况。参考国际纯粹和应用化学联合会(IUPAC)提出的适用于痕量污染物高级氧化过程的电耗评估方法进行分析<sup>[6]</sup>。单位耗能参数( $E_{Eo}$ )是一个综合性评价参数,能较好地描述UV/H<sub>2</sub>O<sub>2</sub>系统的效率,其定义为处理一定体积的水使其达到规定的水平(目标污染物降低一个数量级或降低1-lg)所需要的电能。较低的 $E_{Eo}$ 值表示UV/H<sub>2</sub>O<sub>2</sub>系统具有较高的效率, $E_{Eo}$ 可由下式计算:

$$E_{ED} = \frac{P}{Q} \quad (1)$$

$$E_{Eo} = \frac{E_{ED}}{\lg(C_0/C_t)} \quad (2)$$

其中, $C_0$ 和 $C_t$ 分别代表进水和出水中目标污染物的浓度。

图3为UV/H<sub>2</sub>O<sub>2</sub>系统去除GSM与2-MIB时 $E_{Eo}$ 随H<sub>2</sub>O<sub>2</sub>剂量的变化规律。通过拟合得出去除GSM和2-MIB的 $E_{Eo}$ 值与H<sub>2</sub>O<sub>2</sub>剂量的关系分别为: $E_{Eo}(GSM) = 1.157C_H^{-0.782}, R^2 = 0.825; E_{Eo}(2\text{-MIB}) = 1.549C_H^{-0.839}, R^2 = 0.779$ 。二者的 $E_{Eo}$ 值与H<sub>2</sub>O<sub>2</sub>剂量具有强相关性, $p$ 值均小于0.001,拟合结果极显著。

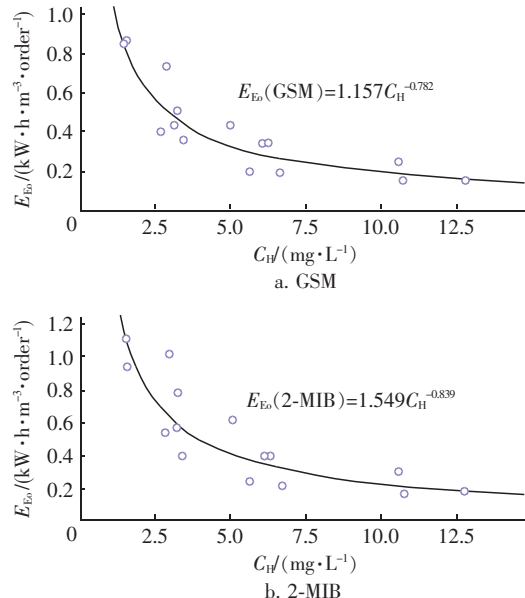


图3  $E_{Eo}$ 随 $H_2O_2$ 剂量的变化规律

Fig. 3 Variation of  $E_{Eo}$  with  $H_2O_2$  dose

由图3可以看出,随着H<sub>2</sub>O<sub>2</sub>剂量的增大, $E_{Eo}$ 值呈先快后慢的降低趋势。当H<sub>2</sub>O<sub>2</sub>剂量<5.0 mg/L时, $E_{Eo}$ 值降低较快;当H<sub>2</sub>O<sub>2</sub>剂量在5.0~12.5 mg/L

L时, $E_{E_o}$ 值降低较为缓慢;当H<sub>2</sub>O<sub>2</sub>剂量>12.5 mg/L后, $E_{E_o}$ 值基本稳定在0.2 kW·h/(m<sup>3</sup>·order)左右。当H<sub>2</sub>O<sub>2</sub>剂量增加时,相同电耗下可产生更多的·OH进行目标污染物的氧化;另一方面,由于H<sub>2</sub>O<sub>2</sub>自身对·OH的淬灭作用,在大剂量H<sub>2</sub>O<sub>2</sub>条件下 $E_{E_o}$ 的降低将进入平台期。实际生产过程中建议H<sub>2</sub>O<sub>2</sub>投加剂量取5~10 mg/L,使出水中GSM和2-MIB的浓度满足饮用水标准要求即可。

Daneshvar等人<sup>[7]</sup>的研究显示,采用UV/H<sub>2</sub>O<sub>2</sub>高级氧化法处理柠檬酸时,其 $E_{E_o}$ 值在0.4~5.0 kW·h/(m<sup>3</sup>·order)之间,由此认为本研究中的 $E_{E_o}$ 值相对较低,高级氧化系统的效率较高。另外,本研究中进水GSM与2-MIB均经过加标处理,实际生产中进水负荷应该较低,且实际生产中反应器更接近理想推流状态,系统处理效率会进一步提高。

### 3 结论

① 在中试条件下,当H<sub>2</sub>O<sub>2</sub>和UV剂量一定时,GSM和2-MIB去除率随着进水流量的增大而降低;两种目标污染物的去除率与UV剂量呈正相关关系;随着H<sub>2</sub>O<sub>2</sub>剂量的增大,GSM和2-MIB去除率呈先快后慢的增大趋势,最大可分别达到99.52%和99.26%,此时出水中GSM和2-MIB的浓度满足《生活饮用水卫生标准》(GB 5749—2006)的要求。

② 通过 $E_{E_o}$ 值量化并评价整个系统的电耗情况,针对GSM和2-MIB两种目标污染物分别得出了 $E_{E_o}$ 与H<sub>2</sub>O<sub>2</sub>剂量的数值表达关系,由此可对实际生产中H<sub>2</sub>O<sub>2</sub>的投加剂量进行预测。

### 参考文献:

- [1] 杨显峰. 高藻水源地饮用水高级氧化除藻技术研究[J]. 华中师范大学研究生学报,2015,22(2):174~178.  
Yang Xianfeng. Research on advanced oxidation pretreatment technology of removing algae from drinking water in high algae water source[J]. Central China Normal University Journal of Postgraduates, 2015, 22(2): 174~178 (in Chinese).
- [2] 黄惠燕,陈牧民,关心丽,等. 新型除臭剂与活性炭联合投加去除水体异臭味[J]. 中国给水排水,2007,23(2):83~85.  
Huang Huiyan, Chen Mumin, Guan Xinli, et al. Combined addition of new deodorant and powdered activated carbon for removing undesirable odor from water body[J]. China

- Water & Wastewater, 2007, 23(2): 83~85 (in Chinese).
- [3] 王永京,杨凯,于建伟,等. 饮用水处理中臭氧化副产物生成与控制研究[J]. 水处理技术,2016,42(6):90~93,97.  
Wang Yongjing, Yang Kai, Yu Jianwei, et al. The study of ozonation by-products formation and control during the drinking water treatment[J]. Technology of Water Treatment, 2016, 42(6): 90~93, 97 (in Chinese).
- [4] 李浩,贾瑞宝,李世俊. 济南玉清水厂强化常规处理工艺改造设计及运行分析[J]. 中国给水排水,2012,28(14):90~93.  
Li Hao, Jia Ruibao, Li Shijun. Reconstruction design and operation of conventional treatment processes in Jinan Yuqing Waterworks[J]. China Water & Wastewater, 2012, 28(14): 90~93 (in Chinese).
- [5] 高迎新,张昱,杨敏,等. Fe<sup>3+</sup>或Fe<sup>2+</sup>均相催化H<sub>2</sub>O<sub>2</sub>生成羟基自由基的规律[J]. 环境科学,2006,27(2):305~309.  
Gao Yingxin, Zhang Yu, Yang Min, et al. Comparison of hydroxyl radical production rates in H<sub>2</sub>O<sub>2</sub> solution under homogeneous catalysis of Fe<sup>3+</sup> or Fe<sup>2+</sup>[J]. Environmental Science, 2006, 27(2): 305~309 (in Chinese).
- [6] Guo H, Gao N, Li L, et al. Degradation of chlorothalonil by ultrasonic irradiation: Kinetics and impact factors[J]. J Cent South Univ Technol, 2011, 18(4): 1068~1073.
- [7] Daneshvar N, Aleboyeh A, Khataee A R. The evaluation of electrical energy per order ( $E_{E_o}$ ) for photooxidative decolorization of four textile dye solutions by the kinetic model[J]. Chemosphere, 2005, 59(6): 761~767.



**作者简介:**王昊(1987-),男,上海人,工学硕士,工程师,主要从事市政水处理、管网系统的设计和研究。

**E-mail:** wanghao1@smedi.com

**收稿日期:**2018-03-23